

文章编号: 2095-4980(2018)02-0253-06

一种跳频信号实时跟踪与参数估计方法

杨 佳, 黄志英, 关 卿, 余金峰

(中国洛阳电子装备实验中心, 河南 洛阳 471003)

摘要: 现有的跳频信号处理方法往往需要积累足够长的样本数据, 缺乏实时快速运算的能力, 无法处理高速跳频信号。在小样本条件下提出一种跳频信号实时跟踪和参数估计方法。根据跳频信号的频域稀疏性建立信号模型, 引入稀疏贝叶斯学习(SBL)算法解决多观测向量(MMV)信号重构问题。在构建新的判决统计量基础上, 推导一种保持恒虚警概率的跳变时刻检测方法, 设计滑动策略实现跳频信号的实时跟踪。分别利用几何重心法和最小二乘法估计每跳(hop)的载波频率和来波方向(DOA)。实验证明, 新方法在低信噪比(SNR)下具有更低的虚警概率, 参数估计精确度得到明显提升。

关键词: 跳频信号; 稀疏重构; 实时跟踪; 参数估计

中图分类号: TN911.7

文献标志码: A

doi: 10.11805/TKYDA201802.0253

A dynamic tracking and parameter estimation method for Frequency-Hopping signal

YANG Jia, HUANG Zhiying, GUAN Qing, YU Jinfeng

(Luoyang Electric Equipment Test Center, Luoyang Henan 471003, China)

Abstract: The existing Frequency-Hopping(FH) signal processing algorithms often require sufficient data, therefore cannot meet the need of real-time operation or require handling the FH signal with high hopping speed. In order to process FH signals with few samples, a real-time tracking and parameter estimation method is proposed. According to the sparsity in frequency domain, Sparse Bayesian Learning(SBL) is introduced to reconstruct Multiple Measurement Vector(MMV). By constructing new statistic parameter, a hop timing detecting method with constant false alarm probability is derived. Then FH signals can be tracked dynamically according to a sliding strategy. Finally, the proposed method estimates the carrier frequency and Direction-Of-Arrival(DOA) by gravity of geometric center and least square method respectively. Experiments show that the proposed method has lower false alarm probability under low Signal-to-Noise Ratio(SNR), and improves the accuracy of parameter estimation remarkably.

Keywords: Frequency-Hopping signal; sparse recovery; dynamic tracking; parameter estimation

跳频通信凭借良好的抗干扰性和保密性等特点, 在移动、卫星以及军事通信领域得到广泛应用。有效的参数估计方法对于跳频信号的获取、侦收以及分析具有十分重要的理论价值和现实意义, 目前已经成为跳频信号处理的关键技术。常见的跳频信号参数主要包括跳变时刻、载波频率及来波方向(DOA)等。针对跳变时刻和载波频率, 文献[1]提出了一种基于自相关的方法估计跳变时刻和跳速, 但是需要已知信号功率和大致的跳速范围。文献[2]利用伪Wigner-Ville分布估计信号的跳变时刻、跳速和载波频率, 但基于谱图方法的估计精确度有限。文献[3]在双正则化条件下利用稀疏特性估计载波频率和跳变时刻, 但信噪比适应能力较差。针对DOA, LIU等最早利用天线阵列估计跳频信号参数, 其中文献[4]利用空间谱估计并使用空域滤波分离跳频信号, 但运算复杂度较高; 文献[5-6]提出了一种基于空时频分析的多跳频信号DOA估计方法, 但受限于短时傅里叶变换(Short-Time Fourier Transform, STFT)的时频聚焦能力, 参数估计精确度不高, 特别是在小样本条件下, 由于时频变换无法得到清晰的时频图, 导致该参数估计算法几乎失效。文献[7-8]提出了一种基于空间极化时频分布的跳频信号多参数联合估计算法, 通过一维搜索和方程求解估计DOA与极化参数, 最终实现了二维DOA与极化参数的联合估计。

收稿日期: 2016-11-13; 修回日期: 2017-01-08

随着跳频通信技术的不断发展,信号的跳变速率不断提高,以上的参数估计算法无法完成跳频信号参数的实时估计任务。对此,文献[9]提出一种基于粒子滤波的跳频信号实时跟踪和参数估计方法,但在信噪比较低时,参数估计性能较差。文献[10]提出一种基于稀疏重构的跳频信号跟踪和参数估计方法,但该方法受限于固定的频率分辨率,载频估计精确度较低。

针对文献[9-10]中出现的有关问题,本文在稀疏重构算法的基础之上,通过构造新的检测统计变量,推导了一种跳频信号实时跟踪方法,能够在恒虚警概率下检测跳变时刻。在实时跟踪跳频信号的基础上,对频率搜索间隔进行逐步细化,通过计算重构结果的几何重心,得到更加精确的载波频率估计值。根据天线阵列结构建立来波方向与重构结果的关系式,结合最小二乘法求解跳频信号的 DOA。

1 信号模型

在观测时间 T 内,由 K 个跳频信号组成的信号模型经过采样间隔为 T_s 的数字采样后,表达式为:

$$y(n) = \sum_{k=1}^K a_k e^{j\phi_k n} + \varepsilon(n), \quad 0 \leq n \leq N-1 \quad (1)$$

式中: $\phi_k = 2\pi f_k T_s$, f_k 表示第 k 个信号的载波频率; a_k 表示第 k 个信号的幅度和相位信息; $\varepsilon(n)$ 表示均值为零,方差为 σ^2 的加性高斯白噪声; $N-1 = \lfloor T/T_s \rfloor$ 。使用 M 个天线组成的均匀直线阵接收跳频信号,选定参考天线作为坐标原点,相邻天线间距为 D ,信号传播速度为 C , K 个跳频信号的入射角度为 $\boldsymbol{\theta} = [\theta_1, \theta_2, \dots, \theta_K]$,令 $\phi_k = 2\pi f_k D \cos \theta_k / C$,则阵列接收信号表示为 $\mathbf{Y} = \mathbf{A}\mathbf{S} + \boldsymbol{\varepsilon}$,其中 $\mathbf{Y} = [\mathbf{y}_1, \mathbf{y}_2, \dots, \mathbf{y}_M] \in \mathbf{C}^{N \times M}$, $\mathbf{y}_m \in \mathbf{C}^{N \times 1}$ 表示第 m 个天线的接收信号; $\mathbf{A} = [\mathbf{a}(f_1), \mathbf{a}(f_2), \dots, \mathbf{a}(f_K)]$, $\mathbf{a}(f_k) = [1, e^{j2\pi\phi_k}, \dots, e^{j2\pi\phi_k(N-1)}]^T$ 包含信号的载波频率信息; $\mathbf{S} = [\boldsymbol{\eta}_1^T, \boldsymbol{\eta}_2^T, \dots, \boldsymbol{\eta}_K^T]^T$, $\boldsymbol{\eta}_k = [a_k, a_k e^{j\phi_k}, \dots, a_k e^{j(M-1)\phi_k}]$ 包含信号的空间方位信息; $\boldsymbol{\varepsilon}$ 表示均值为零,方差为 $\sigma^2 \mathbf{I}$ 的高斯白噪声。定义一个包含上述 K 个跳频信号频率的频率集合 $\Psi = \{f_1, f_2, \dots, f_P\}$,即 $f_k \in \Psi$ 。当接收方没有跳频图案的先验信息时,可以将观测带宽平均分成 P 等份。第 m 个天线的接收信号改写成:

$$y_m(n) = \sum_{p=1}^P \tilde{\rho}_{m,p} e^{j\phi_p n} + \varepsilon(n), \quad 0 \leq n < N-1 \quad (2)$$

$$\tilde{\rho}_{m,p} = \begin{cases} a_k e^{j(m-1)\phi_k}, & f_p = f_k (p=1, 2, \dots, P) \\ 0, & \text{其他} \end{cases} \quad (3)$$

当 $P \gg K$ 时,向量 $\boldsymbol{\rho}_m = [\tilde{\rho}_{m,1}, \tilde{\rho}_{m,2}, \dots, \tilde{\rho}_{m,P}]^T$ 呈现稀疏特性。 $\mathbf{Y} = \mathbf{A}\mathbf{S} + \boldsymbol{\varepsilon}$ 可进一步改写为 $\mathbf{Y} = \boldsymbol{\Phi}\mathbf{X} + \boldsymbol{\varepsilon}$,其中 $\boldsymbol{\Phi} = [\boldsymbol{\phi}_1, \boldsymbol{\phi}_2, \dots, \boldsymbol{\phi}_P] \in \mathbf{C}^{N \times P}$ 称为字典矩阵, $\boldsymbol{\phi}_p = [1, e^{j\phi_p}, \dots, e^{j\phi_p(N-1)}]^T$ 。 $\mathbf{X} = [\boldsymbol{\rho}_1, \boldsymbol{\rho}_2, \dots, \boldsymbol{\rho}_M]$, $\boldsymbol{\rho}_m \in \mathbf{C}^{P \times 1}$ 表示权值向量,用于从字典矩阵中提取正确的基向量。由于频率集 Ψ 只有在 $\{f_1, f_2, \dots, f_K\}$ 上存在信号,因此理想情况下矩阵 \mathbf{X} 具有行稀疏性,其非零行对应字典矩阵中的频率值等于信号实际载波频率。

2 跳频信号的实时跟踪

2.1 稀疏贝叶斯学习(SBL)算法

为了构造一种层次化的概率模型, SBL 算法引入一组超参数 $\{\alpha_1, \alpha_2, \dots, \alpha_P\}$, 能够独立调整 \mathbf{X} 每个行向量的幅值大小。假设每一个列向量 $\boldsymbol{\rho}_m$ 服从均值为零,方差为 $\boldsymbol{\Gamma} = \text{diag}(\alpha_1, \alpha_2, \dots, \alpha_P)$ 的高斯分布,即 $\boldsymbol{\rho}_m \sim \mathbf{N}(\mathbf{0}, \boldsymbol{\Gamma})$ 。由贝叶斯理论,行稀疏矩阵 \mathbf{X} 关于未知参数的后验分布可表达为如下形式:

$$P(\mathbf{X} | \mathbf{Y}, \boldsymbol{\Gamma}, \sigma^2) = \frac{P(\mathbf{Y} | \mathbf{X}, \sigma^2) P(\mathbf{X} | \boldsymbol{\Gamma})}{P(\mathbf{Y} | \boldsymbol{\Gamma}, \sigma^2)} = (2\pi)^{-MP/2} |\boldsymbol{\Sigma}|^{-M/2} \exp \left[-\frac{1}{2} \sum_{m=1}^M (\boldsymbol{\rho}_m - \boldsymbol{\mu}_m)^H \boldsymbol{\Sigma}^{-1} (\boldsymbol{\rho}_m - \boldsymbol{\mu}_m) \right] \quad (4)$$

记 $\boldsymbol{\Sigma}_t = \sigma^2 \mathbf{I} + \boldsymbol{\Phi}\boldsymbol{\Gamma}\boldsymbol{\Phi}^H$, 协方差矩阵与后验均值的表达式为:

$$\boldsymbol{\Sigma} = (\sigma^{-2} \boldsymbol{\Phi}^H \boldsymbol{\Phi} + \boldsymbol{\Gamma}^{-1})^{-1} = \boldsymbol{\Gamma} - \boldsymbol{\Gamma} \boldsymbol{\Phi}^H \boldsymbol{\Sigma}_t^{-1} \boldsymbol{\Phi} \boldsymbol{\Gamma} \quad (5)$$

$$\mathbf{A} = [\boldsymbol{\mu}_1, \boldsymbol{\mu}_2, \dots, \boldsymbol{\mu}_M] = \boldsymbol{\Gamma} \boldsymbol{\Phi}^H \boldsymbol{\Sigma}_t^{-1} [\mathbf{y}_1, \mathbf{y}_2, \dots, \mathbf{y}_M] \quad (6)$$

SBL 算法将超参数 $\{\alpha_1, \alpha_2, \dots, \alpha_p\}$ 的求解转化为第二类最大似然函数的求解问题, 即将边缘函数最大似然解作为 Γ 与 σ^2 的估计值。使用期望最大化(Expectation Maximization, EM)算法求解得到

$$\alpha_p^{(\text{new})} = \frac{1}{M} \|\mathbf{A}_p\|_2^2 + \Sigma_{pp}, \quad \forall p=1, 2, \dots, P \quad (7)$$

$$(\sigma^2)^{(\text{new})} = \frac{1}{M} \|\mathbf{Y} - \Phi \mathbf{A}\|_F^2 \left/ \left[N - P + \sum_{p=1}^P \frac{\Sigma_{pp}}{\alpha_p^{(\text{new})}} \right] \right. \quad (8)$$

式中: \mathbf{A}_p 表示上一步迭代后均值 \mathbf{A} 的第 p 行; Σ_{pp} 表示上一步迭代协方差矩阵 Σ 的第 p 个对角线元素。SBL 算法的学习过程实质上是 EM 算法不断迭代和协方差矩阵 Σ 与后验均值 \mathbf{A} 不断更新的过程, 直到超参数 Γ 收敛到一个合适值。

2.2 跳变时刻检测

假设信号在下一时刻 n_* 没有发生跳变, 则在 SBL 算法收敛结果 Γ_{MP} 和 σ_{MP}^2 的基础上, 可以进一步推导在第 n_* 时刻, 第 m 根天线接收信号 $y_m(n_*)$ 的后验分布:

$$P(y_m(n_*) | \mathbf{y}_m, \Gamma_{MP}, \sigma_{MP}^2) = (2\pi\sigma_*^2)^{-1/2} \exp \left\{ -\frac{1}{2\sigma_*^2} [y_m(n_*) - \bar{y}_m(n_*)]^2 \right\} \quad (9)$$

式中 $\phi(n_*) = [e^{j\varphi_1 n_*}, e^{j\varphi_2 n_*}, \dots, e^{j\varphi_p n_*}]$ 。通过式 (9) 可以看出, 在 n_* 时刻的样本数据服从高斯分布, 即 $y_m(n_*) \sim N(\bar{y}_m(n_*), \sigma_*^2)$, 均值和方差的表达式为:

$$\bar{y}_m(n_*) = \phi(n_*) \mathbf{u}_m \quad (10)$$

$$\sigma_*^2 = \sigma_{MP}^2 + \phi(n_*) \Sigma \phi^H(n_*) \quad (11)$$

式中 \mathbf{u}_m 表示后验均值 \mathbf{A} 的第 m 列。构造新的检测统计变量 $z_m = [y_m(n_*) - \phi(n_*) \mathbf{u}_m] \sqrt{\frac{2}{\sigma_{MP}^2 + \phi(n_*) \Sigma \phi^H(n_*)}}$, 根据循环对称性质, 变量的实部和虚部分别服从高斯分布, 即 $[z_m^{(r)}; z_m^{(i)}] \sim N(0, \mathbf{I}_2)$, 进一步可以推导 $|z_m|^2 \sim \chi_2^2$, 实质上新的判决统计量可以看作是一种归一化的预测误差。联合全部 M 个天线的接收信号 $\mathbf{y}(n_*) = [y_1(n_*), y_2(n_*), \dots, y_M(n_*)] \in C^{1 \times M}$, 得到最终判决统计量 $Z = \sum_{m=1}^M |z_m|^2 \sim \chi_{2M}^2$ 。假设恒虚警概率下的判决门限为 η , 虚警概率 P_{FA} 可以表示为 $P_{FA} = \Pr[Z > \eta; H_0] = 1 - F_{\chi_{2M}^2}(\eta)$, 其中 $F(g)$ 表示卡方分布的累计分布函数, 因此在固定虚警概率 P_{FA} 下的判决门限可以表示为 $\eta = F_{\chi_{2M}^2}^{-1}(1 - P_{FA})$ 。

3 跳频信号的参数估计

3.1 载波频率的精确估计

由于重构算法会在最接近真实值的附近出现峰值, 因此只需要对真实频率附近的频率范围进行如下划分。假设第 k 个信号在第 q 次估计后的频率估计值为 $f_k^{(q)}$, 那么第 $q+1$ 次估计的频率搜索范围定义为 $[f_k^{(q)} - \delta^{(q+1)}, f_k^{(q)} + \delta^{(q+1)}]$, 其中 $\delta^{(q+1)} = \delta^{(q)} / \zeta$, 再将频率搜索范围均匀划分为 P/K 份, 即频率分辨力为 $\Delta^{(q+1)} = 2K\delta^{(q+1)} / P$ 。 ζ 为步长调整因子, 取值范围一般为 2~4, 通过不断地缩小搜索区间就可以达到提高频率分辨力的效果。研究发现, 通过细化搜索网络可提高频率分辨力, 稀疏重构结果会以真实频率值为中心出现凸起的包络。对此, 本文利用包络几何形状估计频率。首先, 对后验均值矩阵的每一个行向量 \mathbf{A}_p 计算向量范数, 构造向量 $\tilde{\rho}_0 = [\|\mathbf{A}_1\|, \|\mathbf{A}_2\|, \dots, \|\mathbf{A}_p\|]$ 。假设第 k 个包络的谱峰对应的载波频率为 $f_{0,k}$, 则第 $q+1$ 次的频率估计值等于

$$f_k^{(q+1)} = \frac{\sum_{k=-K_a/2}^{K_a/2} (f_{0,k} + k\Delta^{(q+1)}) \cdot \tilde{\rho}_0(f_{0,k} + k\Delta^{(q+1)})}{\sum_{k=-K_a/2}^{K_a/2} \tilde{\rho}_0(f_{0,k} + k\Delta^{(q+1)})} \quad (12)$$

式中： K_a 表示位于凸起包络内部的频率个数； $\tilde{\rho}_0(f_{0,k} + k\Delta^{(q+1)})$ 代表在重构结果中频率 $f_{0,k} + k\Delta^{(q+1)}$ 的幅度值。频率估计值 $f_k^{(q+1)}$ 实质上位于凸起包络的几何重心，通过联合包络内各频率值的幅度信息，可以更加充分地利用重构结果，避免由于频率分辨率不足造成的估计误差，进一步提高频率估计精确度。

3.2 来波方向的精确估计

权值向量 ρ_m 中包含了信号的来波方向信息，可以在得到行稀疏矩阵 X 的基础上进行参数估计。假设字典矩阵 Φ 中的第 p_k 个频率值 f_k 最靠近上述估计值 $f_k^{(q+1)}$ ，矩阵 X 在第 p_k 行的非零向量表示为 $X_{p_k} = [x_{p_k,1}, x_{p_k,2}, \dots, x_{p_k,M}]^T$ 。在天线阵列具有规范阵型结构的情况下，利用阵列的几何结构能够进一步提高 DOA 估计的精确度。本文以 ULA 为例，提取向量 X_{p_k} 中的每一元素的相位得到向量 $t = [t_1, t_2, \dots, t_M]^T$ ，其中 $t_m = \text{angle}(x_{p_k,m})$ 。令 $h = [1, \dots, 2\pi f_k^{(q+1)} D(M-1)/C]^T$ ，则可以得到 $t = h \cos \theta_k + \varepsilon_\theta$ 。其中， ε_θ 表示相位误差。解这个最小二乘估计模型得到拟合结果 $\theta_k = \arccos \left[\frac{\sum_{m=1}^M (t_m - \bar{t})(h_m - \bar{h})}{\sum_{m=1}^M (h_m - \bar{h})^2} \right]$ ，其中 $\bar{t} = \sum_{m=1}^M t_m / M$ ， $\bar{h} = \sum_{m=1}^M h_m / M$ 。

4 仿真实验

本节使用 6 元均匀直线阵接收 2 个跳频信号，跳频信号载波频率的选取范围为 5~20 MHz，跳频信号的来波方向分别为 30°和 70°。采样频率设置为 40 MHz，相邻天线间距为最短波长的一半，频率集合 Ψ 的频率个数为 100 个，初始状态的字典矩阵将 5~20 MHz 的频率范围平均分为 100 份，细化频率搜索网格时的步长调整因子为 2，滑动窗长为 10。文献[9]中 PF 算法的粒子数目为 100 个，扰动因子为 $(0.05\pi)^2$ ，文献[10]中 SBL 算法的噪声方差倍数调整因子为 5，最大幅度比例因子为 0.1。仿真实验分别从实时跟踪性能、载波频率估计性能和来波方向估计性能 3 个方法验证本文算法的有效性。

4.1 跳频信号实时跟踪性能

假设第 1 个跳频信号的载波频率为 7.04 MHz 与 9.64 MHz，第 2 个跳频信号的载波频率为 11.31 MHz 与 14.18 MHz，每跳均包含 40 个样本点数。利用蒙特卡洛循环实验统计 3 种跟踪算法的检测概率和虚警概率随信噪比的变化情况。定义信噪比 $R_{SN} = 10 \lg(\|\eta\|_2^2 / N\sigma^2)$ ，其中 η 表示信号向量， N 表示信号点数。信噪比在-5~15 dB 范围内变化，每个信噪比条件下完成 500 次的蒙特卡洛循环。对比看出，自回归滑动平均(Auto-Regressive and Moving Average, ARMA)算法的跟踪方法的虚警概率基本保持为 0.3，SBL 算法的跟踪方法在信噪比较低时，虚警概率非常大，当信噪比小于-1 dB 时，算法几乎失效。相比之下，本文算法能够在期望的虚警概率条件下完成跳频信号的实时跟踪，且虚警概率明显小于已有算法。令信噪比为 0 dB，跳速在 0.4~1.3 MHz 范围内变化，每个跳速条件下完成 500 次的蒙特卡洛循环。从图 3~图 4 可以看出，ARMA 算法和 SBL 算法的检测性能与跳速无关，本文算法的检测性能随着跳速的减小，会有一定程度的提升。

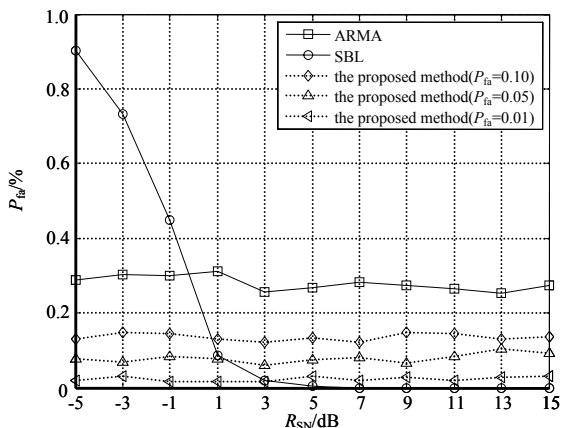


Fig.1 Probability of false alarm versus SNR
图 1 虚警概率随信噪比的变化情况

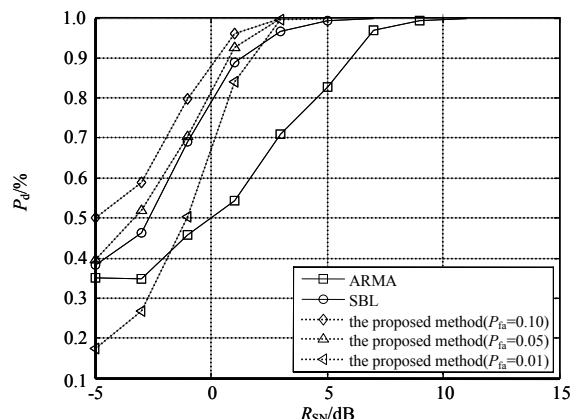


Fig.2 Probability of correct detection versus SNR
图 2 检测概率随信噪比的变化情况

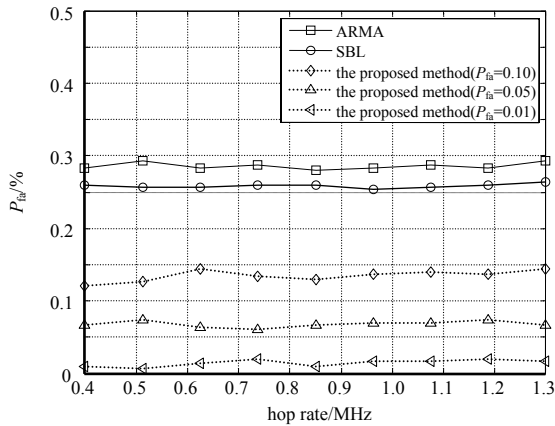


Fig.3 Probability of false alarm versus hop rate
图 3 虚警概率随跳速的变化情况

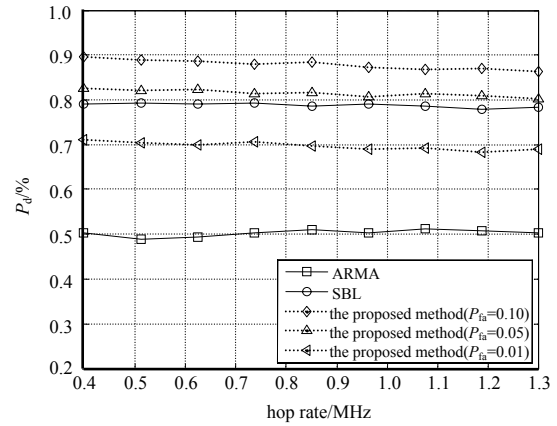


Fig.4 Probability of correct detection versus hop rate
图 4 检测概率随跳速的变化情况

4.2 载波频率估计性能

假设在某跳周期内，2 个跳频信号的载波频率分别保持为 7.04 MHz 与 11.31 MHz。为对比 SBL 算法、PF 算法和本文算法载频估计与样本点数的关系，在信噪比为 8 dB 条件下，分别统计载频均方根误差随滑动窗滑动样本点数的变化情况，每种算法进行 500 次蒙特卡洛循环实验，均方根误差 $RMSE = \sqrt{\sum_{w=1}^W \sum_{k=1}^K (\hat{f}_k^{(w)} - f_k)^2 / WK}$ ，其中，

W 表示独立循环实验次数， $\hat{f}_k^{(w)}$ 和 f_k 分别表示第 w 次循环中第 k 个信号的载频估计值和载频真实值。结果如图 5 所示，在样本点数较少条件下，经典谱分析算法的载频估计精确度最低，PF 算法的载频估计性能有一定提升，SBL 算法由于受限于固定的频率分辨率，随着滑动窗长的增大，载频估计精确度趋于稳定，本文算法的估计误差随着滑动窗长的增大而逐渐下降。接下来，将跳变时刻前一次的载频估计结果作为最终估计值，信噪比在 -8~10 dB 范围内变化，每个信噪比条件下完成 500 次的蒙特卡洛循环。通过图 6 看出，SBL 算法的载频估计精确度高于 PF 算法，但由于频率搜索网格的分辨率有限，当信噪比大于 4 dB 时，SBL 算法的载频估计精确度无法随信噪比的增加而提高。

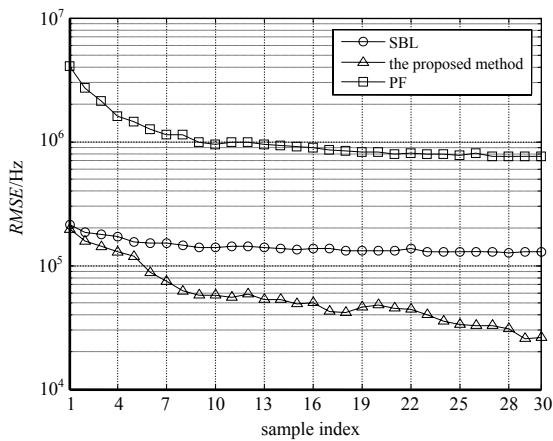


Fig.5 RMSE of frequency estimation versus sample index
图 5 载频均方根误差随样本点数的变化情况

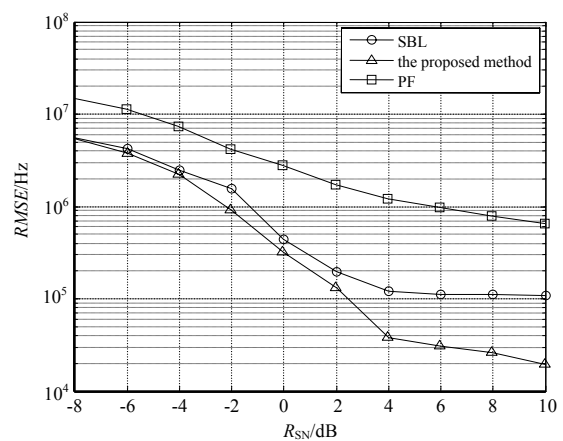


Fig.6 RMSE of frequency estimation versus SNR
图 6 载频均方根误差随信噪比的变化情况

4.3 来波方向估计性能

在 4.2 节的仿真条件下，根据上述载波频率的估计结果进一步计算跳频信号的来波方向，将跳变时刻前一次的 DOA 估计结果作为最终估计值，对比不同信噪比下 PF 算法和本文算法的估计性能。信噪比的变化范围为 0~30 dB，每个信噪比完成 500 次蒙特卡洛循环，均方根误差的表达式 $RMSE = \sqrt{\sum_{w=1}^W \sum_{k=1}^K (\hat{\theta}_k^{(w)} - \theta_k)^2 / WK}$ ，其中， $\hat{\theta}_k^{(w)}$ 和 θ_k 分别表示第 w 次循环中第 k 个信号的 DOA 估计值和 DOA 真实值。得到来波方向均方根误差随信噪比的变

化曲线如图 7 所示。由于载频的估计结果会直接影响到 DOA 的估计精确度,因此本文算法的 DOA 估计性能优于 PF 算法。

5 结论

针对小样本条件下的跳频信号处理方法进行研究,重点解决已有跳变时刻检测方法对信噪比低、鲁棒性差和已有参数估计方法估计精确度低两方面的问题。首先基于稀疏贝叶斯学习,设计了一种跳变时刻检测算法,通过不断细化频率搜索网格以及合理利用重构结果的几何形状,使得频率分辨力和载频估计准确性明显提升。在已知阵列结构基础上,利用最小二乘法计算跳频信号的 DOA,得到更好的 DOA 估计性能。实验证明,跳变时刻检测方法改善了原有算法难以适应低信噪比的缺点,参数估计性能相比于已有算法,具有较为明显的提升。

参考文献:

- [1] CHUANG C D,POLYDOROS A. Parameter estimation of random FH signals using autocorrelation techniques[J]. IEEE Transactions on Communications, 1995,43(234):1097-1106.
- [2] CHEN T C. Joint signal parameter estimation of frequency-hopping communications[J]. IET Communications, 2012,6(4): 381-389.
- [3] ANGELOSANTE D,GIANNAKIS G B,SIDIROPOULOS N D. Estimating multiple frequency-hopping signal parameters via sparse linear regression[J]. IEEE Transactions on Signal Processing, 2010,58(10):5044-5056.
- [4] LIU X,SIDIROPOULOS N D,SWAMI A. Blind high-resolution localization and tracking of multiple frequency hopped signals[J]. IEEE Transactions on Signal Processing, 2002,50(4):889-901.
- [5] 陈利虎. 基于空时频分析的多分量跳频信号 DOA 估计[J]. 系统工程与电子技术, 2011,33(12):2587-2592. (CHEN Lihu. Directions of arrival estimation for multicomponent frequency-hopping signals based on spatial time-frequency analysis[J]. Systems Engineering and Electronics, 2011,33(12):2587-2592.)
- [6] 陈利虎. 基于数字信道化和空时频分析的多网台跳频信号 DOA 估计[J]. 通信学报, 2009,30(10):68-74. (CHEN Lihu. Directions of arrival estimation for multi frequency-hopping signals based on digital channelized receiver and spatial time-frequency analysis[J]. Journal on Communications, 2009,30(10):68-74.)
- [7] 张东伟,郭英,齐子森,等. 采用空间极化时频分布的跳频信号多参数联合估计算法[J]. 西安交通大学学报, 2015, 49(8):17-23. (ZHANG Dongwei,GUO Ying,QI Zisen,et al. A joint estimation algorithm of multiple parameters for frequency hopping signals using spatial polarimetric time frequency distributions[J]. Journal of Xi'an Jiaotong University, 2015,49(8): 17-23.)
- [8] 张东伟,郭英,齐子森,等. 多跳频信号波达方向与极化状态联合估计算法[J]. 电子与信息学报, 2015,37(7):1695-1701. (ZHANG Dongwei,GUO Ying,QI Zisen,et al. Joint estimation algorithm of direction of arrival and polarization for multiple frequency-hopping signals[J]. Journal of Electronics and Information Technology, 2015,37(7):1695-1701.)
- [9] SHA Z C. Online hop timing detection and frequency estimation of multiple FH signals[J]. Etri Journal, 2013,35(5):748-756.
- [10] 王丰华,沙志超,刘章孟,等. 基于贝叶斯稀疏学习的多跳频信号频率跟踪方法[J]. 电子与信息学报, 2013,35(6): 1395-1399. (WANG Fenghua,SHA Zhichao,LIU Zhangmeng,et al. A frequency tracking method for multiple frequency-hopping signals based on sparse Bayesian learning[J]. Journal of Electronics and Information Technology, 2013,35(6): 1395-1399.)

作者简介:



杨 佳(1983-),男,江苏省海州县人,硕士,工程师,主要研究方向为通信网络对抗、通信信号处理.email:webberyj@126.com.

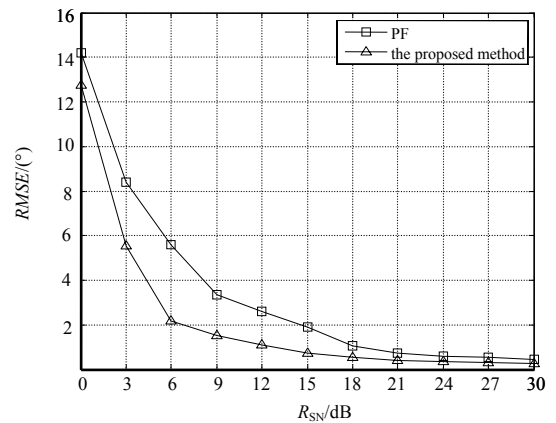


Fig.7 RMSE of DOA estimates versus SNR
图 7 DOA 均方根误差随信噪比的变化情况